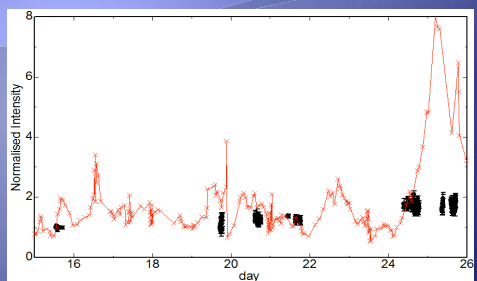
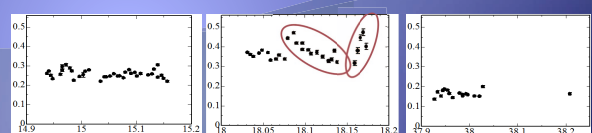


水星大気密度と太陽風フラックス



太陽風フラックス変動による密度変動は観測されていない

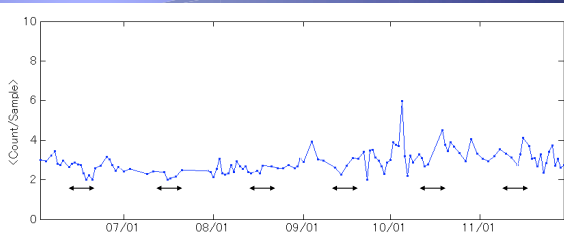
水星大気密度と太陽風フラックス



2/15, 18, 3/10 の大気変動(縦軸絶対値較正が必要)
1桁以上の増減はなし

For Reference

Lunar Na ion observed by PACE-IMA on Kaguya

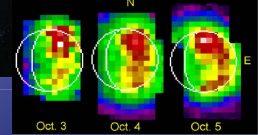
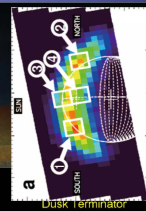


水星ナトリウム大気生成過程

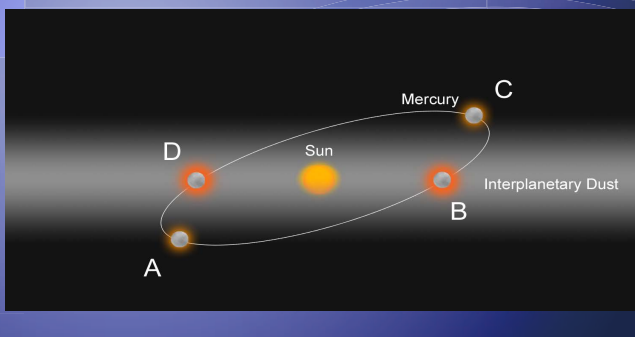
太陽光、太陽風、隕石衝突などで
地表からナトリウムが放出される。
高緯度で高密度 → 太陽風スパッタリング

日変化はあっても、1時間程度では
変動していない

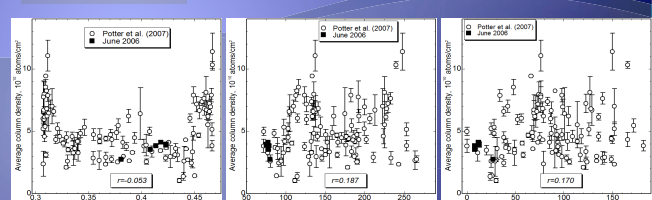
現地で太陽風フラックスを測るまでは
よくわからないまま??



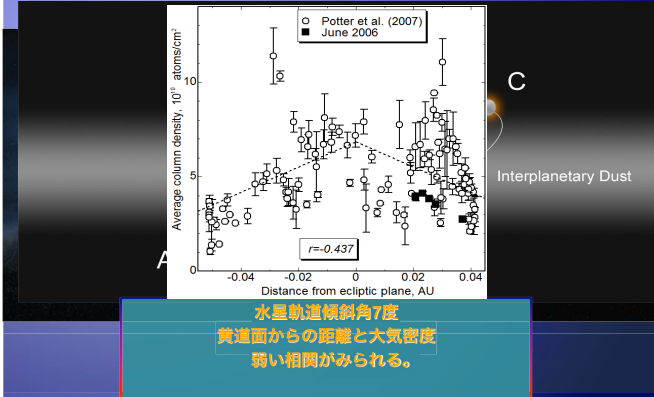
水星大気密度変動と惑星間ダスト分布



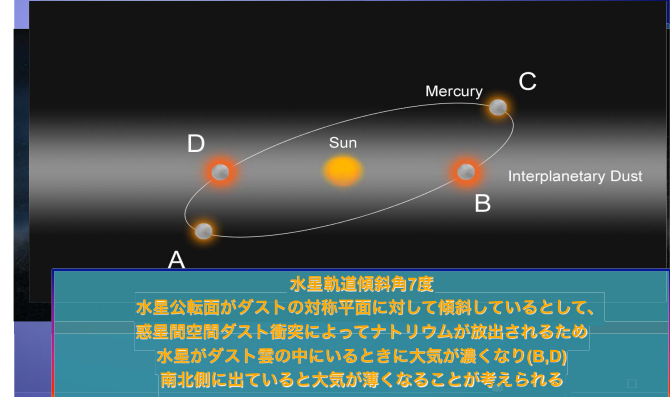
水星大気密度



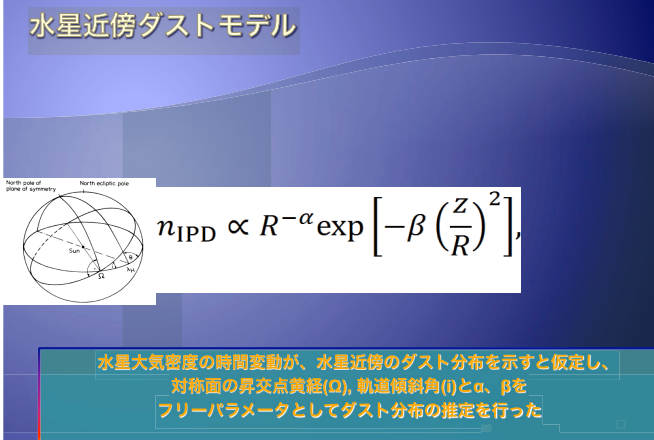
水星近傍ダストと水星大気



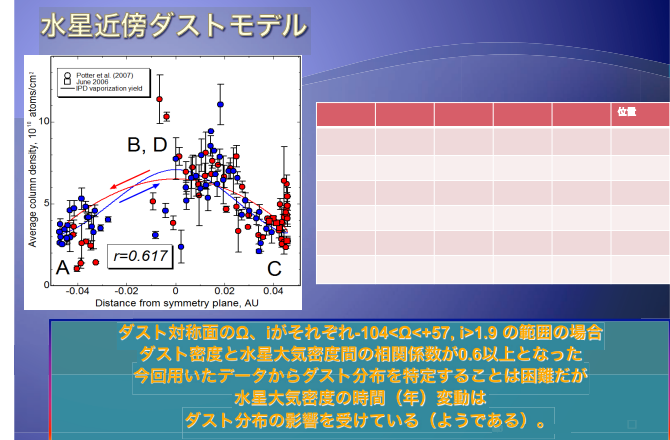
水星近傍ダストと水星大気



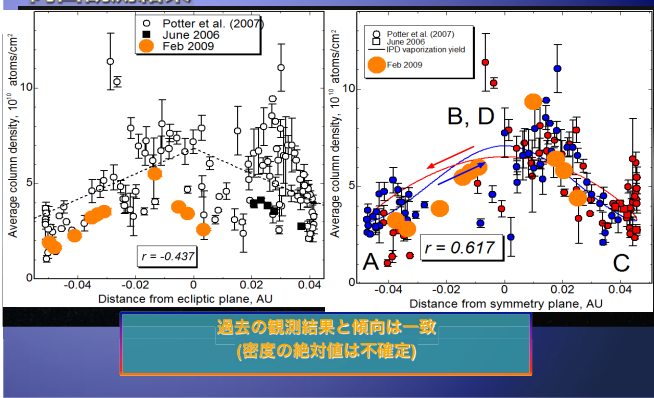
水星近傍ダストモデル



水星近傍ダストモデル

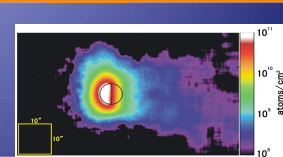
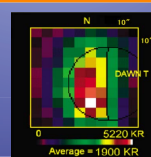


岡山観測結果



まとめ・今後の課題

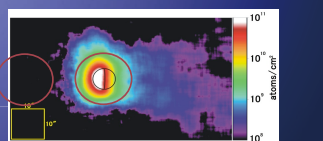
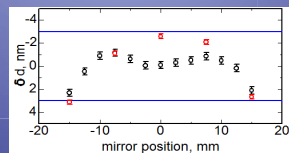
- ・水星大気密度の年変動は惑星間ダスト分布に依存している可能性があることを示した。
- ・短期間(1日)程度の大気密度の変動の原因は不明
- ・Potter et al. (2007)では観測視野が10秒角四方 Kameda et al. (2008)では40x70秒角
岡山のスリット分光結果から全量を推測する手法
- ・波長範囲が広がったことでカリウムの同時観測を行なった
→解析中



まとめ・今後の課題

- ・現在、25cm望遠鏡、ファブリペロー干渉計、
ファイバを用いた高分散分光観測器を製作中。
来年度より宇宙研屋上で観測開始の予定
- ・新しい平面度検査法を用いて600/ λ の鏡を製作し
フィネス100のファブリペロー干渉計を製作
→波長分解能600,000

54 18 67 9
3 0 6 29



まとめ・今後の水星関係の予定

- ・9/29にメッセンジャー水星探査機の3rd flyby
(・2009年度末にBepiColombo/MMO搭載用大気光カメラの
詳細設計審査)

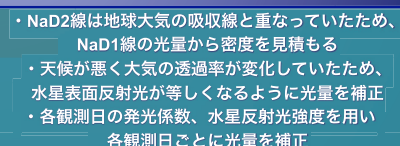
- ・2011年 メッセンジャー 周回軌道投入
- ・2014年 BepiColombo打ち上げ
- ・2020年 BepiColombo観測開始

イメージローテータ

- ・テイル観測に必須
・時間変動と場所による密度差を
切り分けるのも困難なので、時
間変動観測にも有効です。

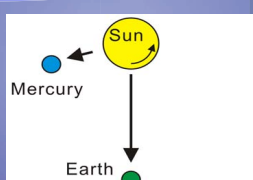
おわり

日中のナトリウム大気光観測



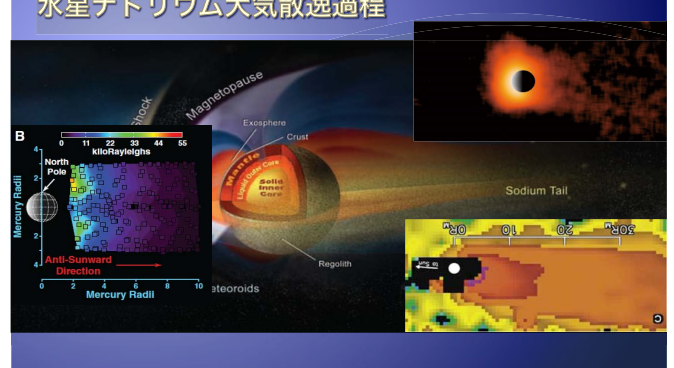
- ・NaD2線は地球大気の吸収線と重なっていたため、
NaD1線の光量から密度を見積もる
- ・天候が悪く大気の透過率が変化していたため、
水星表面反射光が等しくなるように光量を補正
- ・各観測日の発光係数、水星反射光強度を用い
各観測日ごとに光量を補正

太陽風フラックス

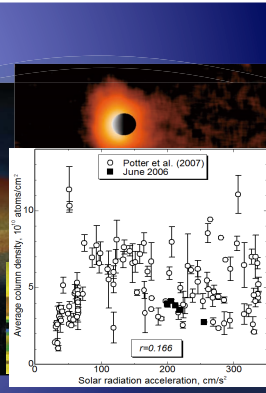
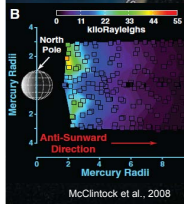


- 観測期間中の水星近傍の
太陽風フラックスは未知
- 地球近傍での観測値(SWEPAM/ACE)から推測
- ↓
- 太陽地球間距離
太陽水星間距離
水星-太陽-地球角
から
- 観測時の太陽風フラックスを推定

水星ナトリウム大気散逸過程



水星ナトリウム大気散逸過程



P 2007

陽 壓 気